

ДИНАМИКА ОТРАЖЕНИЯ СВЕРХКОРОТКИХ СВЕТОВЫХ ИМПУЛЬСОВ ОТ НЕЛИНЕЙНОГО МИКРОРЕЗОНАТОРА В РЕЖИМЕ ОПТИЧЕСКОЙ БИСТАБИЛЬНОСТИ

Развита теоретическая модель распространения сверхкоротких световых импульсов в нелинейных микрорезонаторах, основанная на прямом численном решении уравнений Максвелла методом конечно-разностной аппроксимации во временной области. Исследованы спектры пропускания, переходные характеристики микрорезонатора с керровской нелинейностью, пространственная и временная структура сверхкоротких световых импульсов в режиме оптической бистабильности. Проведено сравнение полученных результатов с моделью среднего поля, примененной для случая одномодового нелинейного интерферометра.

Ключевые слова: оптическая бистабильность; микрорезонатор; керровская нелинейность; уравнения Максвелла.

In this work, the theoretical model for propagation of ultrashort light pulses in nonlinear microresonators has been developed on the basis of a direct numerical solution of Maxwell equations by FDTD-method. Transmission spectra, transient characteristics of microresonators with Kerr-like nonlinearity, spatial-temporal structure of the light pulses in the mode of optical bistability have been studied. A comparative analysis of the results obtained with a single-longitudinal mode approximation of the mean-field theory has been performed.

Key words: optical bistability; microresonator; Kerr nonlinearity; Maxwell equations.

Развитие систем микро- и нанофотоники в последние годы привело к возобновлению интереса к явлению оптической бистабильности и управлению светом с помощью света [1], разработке оптических ограничителей и логических элементов, формированию диссипативных солитонов [2–4]. Повышенный интерес к подобным исследованиям связан с возможностью миниатюризации оптических устройств с одновременным сохранением преимуществ оптических методов обработки информации, включая параллельность обработки сигналов и коммутацию большого числа каналов. Перспективным является построение нелинейно-оптических систем на основе одномерных [5, 6] и двумерных [7, 8] фотонных кристаллов, микроструктурированных волноводов [9], фотонно-кристаллических микрорезонаторов [10].

Настоящая статья посвящена исследованию процессов распространения сверхкоротких световых импульсов в одномерных фотонных кристаллах с нелинейным микрорезонатором. Основное внимание уделяется моделированию переходной динамики данной оптической системы и исследованию закономерностей преобразования пространственно-временной структуры световых импульсов в режиме оптической бистабильности. Проводится сравнение результатов, полученных путем прямого численного моделирования системы уравнений Максвелла, с моделью среднего поля, разработанной для случая одномодового нелинейного интерферометра с керровской нелинейностью.

Теоретическая модель

Для описания явления оптической бистабильности в нелинейных интерферометрах развиты теоретические модели различной сложности. В данной работе рассмотрены два основных подхода. Первый заключается в прямом численном решении уравнений Максвелла методом конечно-разностной аппроксимации во временной области [11]. Он позволяет смоделировать динамику распространения световых импульсов в микрорезонаторах «из первых принципов», исследовать закономерности преобразования пространственной, временной и спектральной структуры светового поля. Второй подход, рассматриваемый в данной работе, основан на теории среднего поля нелинейного интерферометра. Он позволяет получить и проанализировать переходные и квазистационарные характеристики пропускания оптической системы для огибающих световых импульсов при длительностях, много больших времени установления поля в резонаторе [12].

Рассмотрим общую постановку задачи о распространении электромагнитного излучения в оптически неоднородной нелинейной среде с произвольным видом пространственной модуляции диэлектрической проницаемости $\varepsilon(\vec{r}, t, \vec{E}) = \varepsilon_l(\vec{r}) + 4\pi\chi_{nl}(\vec{r}, t, \vec{E})$. При этом система уравнений Максвелла для векторов напряженности электрического и магнитного полей \vec{E} и \vec{H} для немагнитной среды в предположении отсутствия свободных зарядов выглядит следующим образом:

$$\nabla \times \vec{E} = -\frac{1}{c} \frac{\partial \vec{H}}{\partial t}, \quad (1)$$

$$\nabla \times \vec{H} = \frac{1}{c} \frac{\partial \vec{D}}{\partial t}. \quad (2)$$

Для кубической нелинейности керровского типа $\chi^{(3)}$ с учетом конечного времени отклика среды τ_{rel} соотношение между векторами электрического смещения \vec{D} и напряженности электрического поля \vec{E} задается уравнениями:

$$\vec{D}(\vec{r}, t) = \left[\varepsilon_l(\vec{r}) + 4\pi\chi_{nl}(\vec{r}, t, \vec{E}) \right] \vec{E}(\vec{r}, t); \quad (3)$$

$$\tau_{rel} \frac{\partial \chi_{nl}}{\partial t} + \chi_{nl} = \chi^{(3)} \vec{E}^2. \quad (4)$$

Дальнейший анализ проведем для случая пространственно одномерной модуляции диэлектрической проницаемости $\varepsilon = \varepsilon(x)$. Введем безразмерные величины, используя формулы $x = \tilde{x}\lambda_0$ и $t = \tilde{t}T$, где λ_0 – длина волны в вакууме; $T = 1/\nu$ – период (ν – частота) электромагнитных колебаний. При этом система уравнений (1) – (2) с учетом формулы $c = \nu\lambda_0$ переписывается в виде

$$\frac{\partial \tilde{H}_{\tilde{z}}}{\partial \tilde{t}} = -\frac{\partial \tilde{E}_{\tilde{y}}}{\partial \tilde{x}}, \quad (5)$$

$$\frac{\partial \tilde{D}_{\tilde{y}}}{\partial \tilde{t}} = -\frac{\partial \tilde{H}_{\tilde{z}}}{\partial \tilde{x}}, \quad (6)$$

где $\tilde{H}_{\tilde{z}} = H_{\tilde{z}} / E_0$, $\tilde{E}_{\tilde{y}} = E_{\tilde{y}} / E_0$, $\tilde{D}_{\tilde{y}} = D_{\tilde{y}} / E_0$, E_0 – максимальное значение амплитуды светового импульса на входе в нелинейную среду.

Согласно FDTD-методу [11] дифференциальные уравнения (5) и (6) аппроксимируются следующими конечно-разностными уравнениями в пространстве и времени:

$$\tilde{H}_{\tilde{z}}^{l+1/2}(i+1/2) = \tilde{H}_{\tilde{z}}^{l-1/2}(i+1/2) - \frac{\Delta \tilde{t}}{\Delta \tilde{x}} \left[\tilde{E}_{\tilde{y}}^l(i+1) - \tilde{E}_{\tilde{y}}^l(i) \right]; \quad (7)$$

$$\tilde{D}_{\tilde{y}}^{l+1}(i) = \tilde{D}_{\tilde{y}}^l(i) - \frac{\Delta \tilde{t}}{\Delta \tilde{x}} \left[\tilde{H}_{\tilde{z}}^{l+1/2}(i+1/2) - \tilde{H}_{\tilde{z}}^{l+1/2}(i-1/2) \right], \quad (8)$$

где $\Delta \tilde{x}$ – шаг пространственной сетки вдоль координаты \tilde{x} ; $\Delta \tilde{t}$ – шаг временной сетки. Искомые функции $F^l(i)$ относятся к узлам пространственно-временной сетки следующим образом: $F^l(i) = F(i\Delta \tilde{x}, l\Delta \tilde{t}) = F(\tilde{x}, \tilde{t})$. При проведении расчетов необходимо учитывать условие Куранта для обеспечения стабильности численной схемы $\Delta t \leq \Delta x / v$, где v – скорость света в среде.

Кинетическое уравнение для определения нелинейной восприимчивости среды (4) аппроксимируем в виде

$$\chi_{nl}^{l+1}(i) = \chi_{nl}^l(i) - \frac{\Delta \tilde{t} T}{\tau_{rel}} \chi_{nl}^l(i) + \frac{\Delta \tilde{t} T}{\tau_{rel}} \left[\chi^{(3)} E_0^2 \right] \left(\tilde{E}_{\tilde{y}}^l \right)^2, \quad (9)$$

а для нахождения напряженности электрического поля в следующий момент времени будем использовать следующую аппроксимацию уравнения (3):

$$\tilde{E}_{\tilde{y}}^{l+1}(i) = \frac{\tilde{D}_{\tilde{y}}^{l+1}}{\varepsilon_l(i) + 4\pi\chi_{nl}^{l+1}(i)}. \quad (10)$$

Таким образом, численное решение системы уравнений (7) – (10) позволяет описать процесс распространения светового импульса произвольной формы и длительности через оптически неоднородную среду с учетом керровской нелинейности материала.

Как известно [1], функцию пропускания нелинейного интерферометра можно найти также, решив соответствующее волновое уравнение для медленно изменяющейся комплексной амплитуды светового поля

$$\frac{\partial E}{\partial z} + \frac{1}{v} \frac{\partial E}{\partial t} = i \frac{2\pi\omega}{cn_0} [\chi_l E + \chi_{nl} E] \quad (11)$$

с учетом начальных и граничных условий. Граничные условия вдоль оси резонатора, учитывающие переотражение световых волн от зеркал резонатора, записываются в виде [12]

$$E(0, t) = \sqrt{1 - R} E_0 + RE(L, t) \exp(-i2\phi_0),$$

$$E_{\text{вых}}(L, t) = \sqrt{1 - R} E(L, t), \quad (12)$$

где R – коэффициент отражения зеркал интерферометра; начальная отстройка интерферометра от резонанса определяется как $\phi_0 = 2\pi n_c L_c / \lambda_0 - m\pi$, где n_c – показатель преломления; L_c – длина резонатора; m – целое число; E_0 и $E_{\text{вых}}$ – амплитуда световой волны на входе и выходе нелинейного интерферометра.

Для изучения переходных процессов в нелинейных интерферометрах было предложено однододовое приближение теории среднего поля, применяемое для случая высокой добротности интерферометра ($R \sim 1$) и малой отстройки от резонанса ($\phi_0 \ll 1$). В рамках данного приближения нахождение функции пропускания может быть также сведено к решению дифференциального уравнения для безразмерной комплексной амплитуды светового поля A на выходе интерферометра [13, 14]:

$$\tau_R \frac{\partial A}{\partial t} = A_0 - A + iA(2\Phi_0 + g|A|^2), \quad (13)$$

где A_0 – амплитуда световой волны на входе интерферометра; $\Phi_0 = (2\pi n_c L_c / \lambda_0 - m\pi) / (1 - R)$ – нормированная начальная отстройка интерферометра от резонанса; коэффициент нелинейности $g = 4\pi n_2 L / \lambda_0$; $\tau_R = 2L / v(1 - R)$ – время установления поля в интерферометре.

Результаты расчетов и их обсуждение

Рассмотрим задачу об отражении сверхкороткого светового импульса $E(t) = E_0 \exp\left[-\frac{(t-t_0)^2}{2\tau_i^2}\right] \times \sin\left(2\pi \frac{c}{\lambda_0} t\right)$ (длительность $\tau_i = 50 - 200$ фс; длина волны $\lambda_0 = 1$ мкм) от микрорезонатора с нелинейным

слоем. По аналогии с работой [15] предположим, что микрорезонатор состоит из двух зеркал, сформированных из шести чередующихся диэлектрических слоев с показателями преломления $n_1 = 1,45$ и $n_2 = 2,28$ толщиной $n_i L_i \approx \lambda_0 / 4$ (коэффициент отражения каждого зеркала $R \approx 0,9$) и слоя внутрирезонаторного материала с показателем преломления $n_c = 1,6$ и толщиной $L_c = 0,9$ мкм ($n_c L_c = 1,44\lambda_0$). Вся структура расположена на подложке стекла ВК-7 ($n = 1,54$). Спектр пропускания данной структуры представлен на рис. 1 (кривая 1). Одновременно кривая 2 характеризует частотный спектр сигнала

$\hat{E}(\omega) = \frac{1}{\sqrt{2\pi}} \int_{-\infty}^{\infty} E(t) e^{-i\omega t} dt$ для длительности импульса $\tau_i = 100$ фс. Как видно, для рассматриваемого

случая спектральная ширина светового импульса имеет одинаковый порядок величины со спектральной шириной пика пропускания микрорезонатора, а несущая частота ω_0 отстроена от пика пропускания на величину $\Delta\omega/\omega_0 \sim 0,02$. Отметим, что длительность импульса $\tau_i = 100$ фс при данных параметрах микрорезонатора также соответствует времени установления поля в резонаторе $\tau_R \sim 100$ фс.

Как показали проведенные расчеты, в зависимости от соотношения между длительностью световых импульсов τ_i и временем установления поля в резонаторе τ_R , в свою очередь зависящего от коэффициента отражения зеркал микрорезонатора R и определяемого количеством диэлектрических слоев, реализуются различные динамические режимы пропускания и отражения микрорезонатора. При этом существенную роль играет также время релаксации нелинейности τ_{rel} , которое для электронного эффекта Керра имеет порядок 1–10 фс.

Рассчитанные зависимости интегрального пропускания микрорезонатора от квадрата амплитуды падающего светового импульса представлены на рис. 2. В случае $\tau_i < \tau_R$ (см. рис. 2, а) наблюдается плавный рост пропускания с увеличением энергии падающего импульса. Это происходит из-за наличия положительной нелинейной добавки к показателю преломления внутрирезонаторного материала, увеличивающей оптическую толщину слоя и сдвигающей пик пропускания микрорезонатора к несущей частоте светового импульса (см. рис. 1). Однако вследствие того, что спектральная ширина импульса

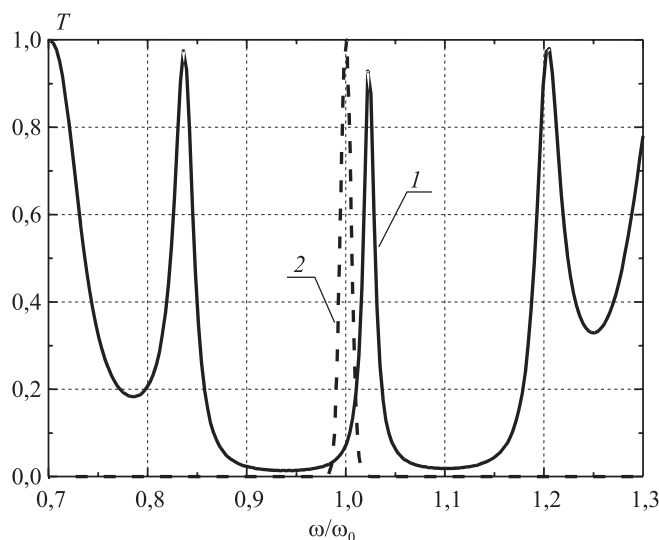


Рис. 1. Спектральные характеристики микрорезонатора и сверхкороткого импульса:
 1 – спектр пропускания микрорезонатора; 2 – Фурье-спектр падающего светового импульса

превышает спектральную ширину пика пропускания микрорезонатора, условия для наблюдения эффекта оптической бистабильности не реализуются для всех спектральных компонент падающего импульса.

В случае, когда $\tau_i > \tau_R$ (см. рис. 2, б), зависимости интегрального пропускания микрорезонатора существенно видоизменяются: при определенных значениях энергии падающего импульса, зависящих от толщины слоя внутрирезонаторного материала L_c (кривые 1–4), фактически определяющей начальную отстройку резонатора от максимума пропускания, наблюдается резкое увеличение пропускания при небольшом возрастании энергии светового импульса. Такое поведение функции пропускания нели-

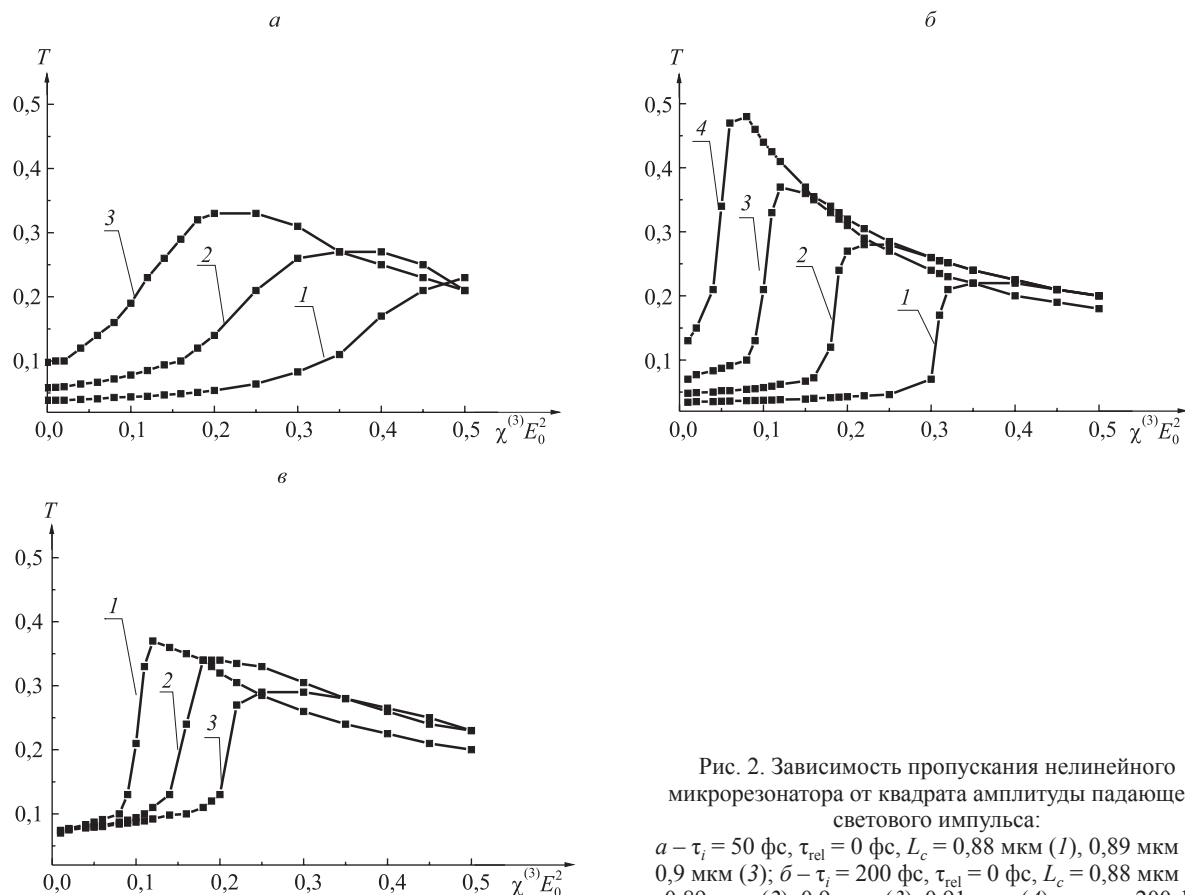


Рис. 2. Зависимость пропускания нелинейного микрорезонатора от квадрата амплитуды падающего светового импульса:
 а – $\tau_i = 50$ фс, $\tau_{rel} = 0$ фс, $L_c = 0,88$ мкм (1), $0,89$ мкм (2), $0,9$ мкм (3); б – $\tau_i = 200$ фс, $\tau_{rel} = 0$ фс, $L_c = 0,88$ мкм (1), $0,89$ мкм (2), $0,9$ мкм (3), $0,91$ мкм (4); в – $\tau_i = 200$ фс, $L_c = 0,9$ мкм, $\tau_{rel} = 0$ фс (1), 10 фс (2), 100 фс (3)

нейного интерферометра позволяет говорить о реализации режима оптической бистабильности. Учет конечного времени релаксации нелинейности (см. рис. 2, в) показывает, что с увеличением τ_{rel} порог переключения микрорезонатора в состояние с высоким пропусканием смещается в сторону больших энергий световых импульсов.

Численные расчеты показали, что существенные различия наблюдаются и в пространственно-временной структуре отраженного и прошедшего световых импульсов для случаев, соответствующих нижней и верхней ветвям кривой пропускания нелинейного микрорезонатора. Так, в случае малой амплитуды падающего импульса и отраженный, и прошедший световые импульсы не испытывают существенных изменений во временной форме (рис. 3, а). В то же время в режиме оптической бистабильности (см. рис. 3, б) можно отметить наличие характерных противофазных осцилляций временной огибающей в прошедшем и отраженном световых импульсах, сопровождающих процесс переключения интерферометра в состояние высокого пропускания. В хвостовой части импульсов также наблюдается кинетика, соответствующая обратному переключению прошедшего импульса в состояние с низкой амплитудой, а отраженного импульса – в состояние с высокой амплитудой. Поскольку длительность падающего светового импульса только в два раза превышает время установления поля в резонаторе ($\tau_i \approx 2\tau_R$), процессы бистабильного переключения носят существенно нестационарный характер.

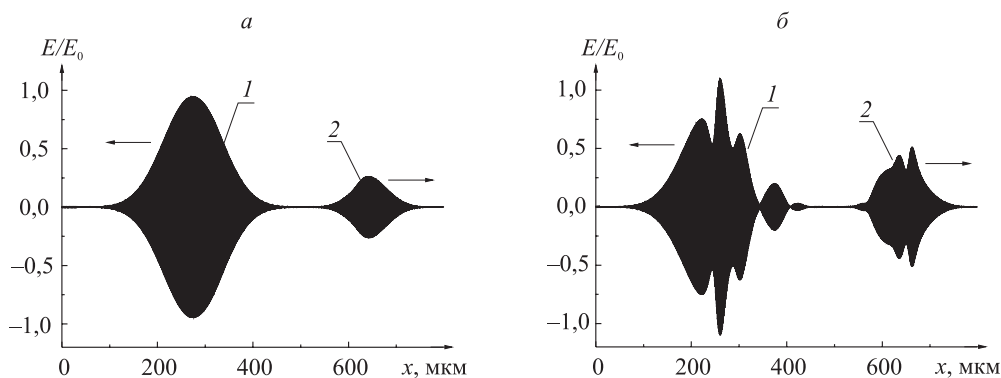


Рис. 3. Мгновенное распределение напряженности электрического поля после отражения светового импульса от нелинейного микрорезонатора: 1 – отраженный импульс; 2 – прошедший импульс. $\tau_i = 200$ фс, $\tau_{rel} = 10$ фс, $L_c = 0,9$ мкм, $\chi^{(3)}E_0^2 = 0,1$ (а), 0,3 (б). Стрелки указывают направления распространения импульсов

С увеличением длительности световых импульсов до $\tau_i \sim 10 \div 20\tau_R$ роль переходных процессов в динамике нелинейного микрорезонатора существенно снижается, что позволяет говорить о квазистационарных передаточных характеристиках. Численное решение уравнения (13) дало возможность исследовать кинетику пропускания (рис. 4, а) и рассчитать квазистационарную передаточную характеристику бистабильного интерферометра (см. рис. 4, б) для случаев относительно длинных световых импульсов. Как видно, прошедший через микрорезонатор световой импульс (см. рис. 4, а, кривая 2) имеет временную огибающую, характеризующуюся наличием осцилляций интенсивности на переднем фронте. Отношение мгновенных значений интенсивности на выходе и входе интерферометра (см. рис. 4, б) позволяет говорить о квазистационарном режиме оптической бистабильности.

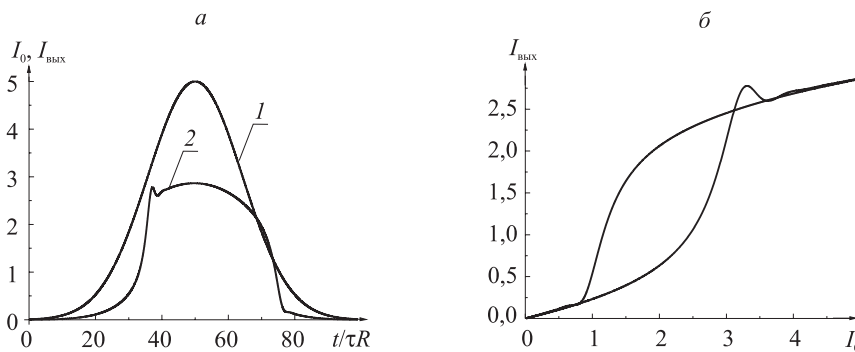


Рис. 4. Оптическая бистабильность в нелинейном микрорезонаторе: а – временные зависимости светового импульса на входе (1) и выходе (2) микрорезонатора; б – передаточная характеристика нелинейного микрорезонатора. $\tau_i = 20 \tau_R$, $gA_0^2 = 5$, $\Phi_0 = 2$

В заключение отметим, что рассмотренная в данной статье модель распространения электромагнитных волн в нелинейных структурах позволила исследовать нестационарную динамику переключения микрорезонатора с керровской нелинейностью в режиме оптической бистабильности и установить типичные закономерности преобразования пространственно-временной формы отраженного и прошедшего световых импульсов. Сравнение результатов прямого численного решения уравнений Максвелла методом конечно-разностной аппроксимации во временной области с моделью среднего поля для нелинейного интерферометра показало, что использование последней перспективно с точки зрения экономии вычислительных ресурсов для квазимонохроматических импульсов с длительностью, существенно превышающей время установления поля в резонаторе. В то же время прямое интегрирование уравнений Максвелла для данной задачи позволяет провести рассмотрение для световых импульсов произвольной длительности.

БИБЛИОГРАФИЧЕСКИЙ СПИСОК

1. Гиббс Х. М. Оптическая бистабильность. Управление светом с помощью света. М., 1988.
2. Кившарь Ю. С., Агравал Г. П. Оптические солитоны. От волоконных световодов к фотонным кристаллам. М., 2005.
3. Joannopoulos J. D., Johnson S. G., Winn J. N., Meade R. D. Photonic Crystals: Molding the Flow of Light. Princeton, 2008.
4. Розанов Н. Н. Диссипативные оптические солитоны. От микро- к нано- и атто. М., 2011.
5. Tocci M. D., Bloemer M. J., Scalora M., Dowling J. P., Bowden Ch. M. Thin-film nonlinear optical diode // Appl. Phys. Lett. 1995. Vol. 66. P. 2324–2326.
6. Hattori T., Tsurumachi N., Nakatsuka H. Analysis of optical nonlinearity by defect states in one-dimensional photonic crystals // J. Opt. Soc. Am. B. 1997. Vol. 14. P. 348–355.
7. Yanik M. F., Fan Sh., Sojacie M., Joannopoulos J. D. All-optical transistor action with bistable switching in a photonics crystal cross-waveguide geometry // Opt. Lett. 2003. Vol. 28. P. 2506–2508.
8. Naqavi A., MonemHaghdoost Z., Abediasl H., Khorasani S., Mehrany Kh. Optical bistable switching with Kerr nonlinear materials exhibiting a finite response time in two-dimensional photonic crystals // Proc. SPIE. 2010. Vol. 7713. P. 77131T.
9. Grieco A., Slutsky B., Tan D.T.H., Zamek St., Nezhad M.P., Fainman Y. Optical bistability in a silicon waveguide distributed Bragg reflector Fabry-Perot Resonator // Journal of Lightwave Technology. 2012. Vol. 30. P. 2352–2355.
10. Etrich Chr., Iliev R., Staliunas K., Lederer F., Egorov O. A. Ab initio dissipative solitons in all-photonics crystal resonator // Phys. Rev. A. 2011. Vol. 84. P. +021808(R).
11. Taflove A., Hagness S. C. Computational Electrodynamics: the Finite-Difference Time-Domain Method. Norwood, 1995.
12. Karpuk S. M., Romanov O. G., Tolstik A. L. Different types of bistability upon multiwave mixing in a nonlinear interferometer // Nonlinear Phenomena in Complex Systems. 1999. Vol. 2, № 1. P. 50–55.
13. Романов О. Г., Толстик А. Л. Пространственно-временные структуры световых полей в нелинейных интерферометрах. Минск, 2009.
14. Romanov O. G., Tolstik A. L. Spatial-Temporal Dynamics of Light Beam Interactions in Nonlinear Interferometer // Nonlinear Phenomena in Complex Systems. 2013. Vol. 16, № 2. P. 131–145.
15. Дадашзадех Н., Романов О. Г. Отражение оптических импульсов от многослойных диэлектрических структур и микрорезонаторов: численное решение уравнений Максвелла // Вестн. БГУ. Сер. 1, Физика. Математика. Информатика. 2014. № 1. С. 11–14.

Поступила в редакцию 17.03.2014.

Нушин Дадашзадех – аспирант кафедры лазерной физики и спектроскопии. Научный руководитель – О. Г. Романов.

Олег Геннадьевич Романов – кандидат физико-математических наук, доцент кафедры лазерной физики и спектроскопии.